

## V-4 PC円形構造物のクリープ、および温度応力に関する研究

(株) 長大橋設計センター 正 梶村雄佑

### [1] 序

PC構造物におけるコンクリートのクリープによる2次応力の取り扱いは、時間の要素が介入するため、かなり複雑な計算を必要とし、一般には、コンクリートの乾燥収縮等を含めて、PC鋼材の有効緊張力を用いるという方法によつて処理されていき。有効緊張力による構造物の応力状態は初期緊張力による応力状態と相似であり、構造物がPC鋼材方向の変形を許さない部分を有すれば、応力状態はコンクリートのクリープによつて荷分配が行はれ、したがつて初期緊張力以下応力状態とは相似ではなくなる。円形PCタンクでは、その壁体下面における底版との結合条件(ヒンジ、または固定)により、クリープによる荷分配が行はれぬ。

また、野外に設けられていく構造物は、日射等による熱源に下り温度変化を受け、一般に熱源を面していき、部分との温度差、あるいは、温度分布の非一様性等により温度応力が発生する。円形PCタンクでは、その壁体が円柱形であり、しかも日射が時間的にその方向性を要にするために、温度分布は非定常的なとなり、したがつて、温度分布による温度応力は温度分布が定常状態のときと不異なつたものとなる。

これら構造物の2次の応力についての研究は、対象が複雑な要素を多く含んでおり、解析においては多くの近似的取り扱いがせざるを得ない。クリープ解析についての文献<sup>1)</sup>が、まだ温度応力についてClarence H. Kent<sup>2)</sup>, K. Kardina等<sup>3)</sup>が理論的研究を行なつてゐる。しかし、温度応力について、これらの解は温度状態が定常のものについて解かれたものであり、実際の日射等に起因する応力とは異なつと思われる。本研究はこれらクリープ、温度応力に対する理論的解析と実際に施されたPCタンクに埋設されたカールソン型ひずみ計による実験結果との比較を試みたものである。

### [2] 理論的研究

#### (1) クリープ応力

コンクリートは2次元状態についてWhitneyの法則、およびDavis-Granvilleの法則に従うものとすれば、円形タンクのクリープ解析に対する微分方程式は(1)式で示される。

$$\frac{E_c(t) \cdot I}{T - t^2} \cdot \frac{\partial^4 w(t)}{\partial x^4} + E_c(t) \cdot h \cdot \frac{w(t)}{a} = Z(t) - E_c(t) \int_{t_0}^t \frac{1 + \varphi(t, \tau)}{E_c(\tau)} d\tau \quad \dots (1)$$

ここで  $E_c(t)$ : コンクリートのヤング率  $\nu$ : コンクリートのボアン比

$I$ : 壁の断面2次モーメント  $h$ : 壁厚

$w(t)$ : 壁の半径方向変位量  $t_0$ : 壁のプレストレイン導入時刻

$\varphi(t, \tau)$ : 載荷時刻より時刻  $\tau$ までのクリープ係数

クリープ解析は(1)式を規定の境界条件と、 $t=t_0$ における初期条件の下で解くことになる。

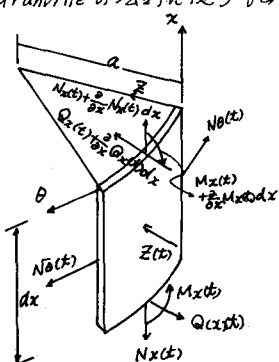


図-1 底盤系

(1)式を次の仮定の下に変形すれば、

$$\begin{aligned} w(t) &= w(t_i) + \Delta w(t), \quad \varphi(t, T) = \varphi(t) - \varphi(T) \\ \varphi(t) &= A_0 (1 - e^{-b_0 t}), \quad E_c(t) = E_c \end{aligned} \quad \left. \right\} \dots (2)$$

$$Z(t) = Z(t_i) - \frac{\Delta w(t)}{a^2} \cdot E_s \cdot A_{sp}$$

$$\Delta w(t) = f(x) \cdot [1 - e^{-b_0 (t-t_i)}] \quad \dots (3)$$

$$\begin{aligned} \frac{E_c T}{E_s T} \cdot \frac{d^4 f(x)}{dx^4} + \left\{ E_c h + E_s A_{sp} \cdot \frac{A_0}{2} \cdot E_s A_{sp} (e^{mt_i} - e^{-mt_i}) \right\} \frac{f(x)}{a^2} \\ = Z(t_i) \cdot A_0 e^{-mt_i} \quad \dots (4) \end{aligned}$$

(4)式において  $f(x)$  は (3) 式の仮定より時間  $t$  に無関係であるが、(4) 式における時間  $t$  の項が含まれてある。しかし、 $f(x)$  の値によると、その項を無視してもその影響は少ないと、したがって、 $f(x)$  に対する微分方程式は

$$\begin{aligned} \frac{E_c T}{E_s T} \frac{d^4 f(x)}{dx^4} + \left\{ E_c h + E_s A_{sp} \cdot \frac{A_0}{2} \cdot E_s A_{sp} \cdot e^{mt_i} \right\} \cdot f(x) \\ = Z(t_i) \cdot A_0 e^{-mt_i} \quad \dots (5) \end{aligned}$$

(5)式で与えられる。 $A_{sp}$  は一般に  $x$  に対する変化 (ほぼ一次関数) である。その  $f(x)$  の項全体に対する影響が小さくなるので、 $A_{sp}$  を一定として計算する。 $=$   
 $\cong$   $A_{sp}$  は PC 鋼筋の断面積、 $E_s$  は P  
C 鋼筋のヤング率である。

(6)式

$$\begin{aligned} E_s &= 2 \times 10^4 \text{ kg/cm}^2, \quad -10, -8, -6, -4, -2, 0, 2, 4, 6, 8, 10 \\ F_c &= 3 \times 10^5 \text{ kg/cm}^2, \quad \text{曲げモーメント } (x \times 10^3 \text{ kg m/m}) \\ &\quad \text{クリ-フによる増加量 } (\Delta M_f = \infty) \end{aligned}$$

$$V = 0.18, \quad h = 25 \text{ cm}, \quad a = 18/3 \text{ m}, \quad A_0 = 20,$$

$$A_{sp} = 3.5, \quad 2.1 \times 10^3 \text{ m}^2/\text{m}, \quad e^{-b_0 t_i} = 0.9,$$

$$Z(t_i) = 20.5 - 0.1625 \cdot x \text{ kg/cm}^2$$

の数値を (4), (5) 式解けば、図-2, 図-3 のようになる。

(3)式より経年的クリ-フによる T  
わみの増加量は  $f(x)$  で示され、したが  
つてこのクリ-フによるわみの増加量によ  
る PC 鋼筋の有効緊張率は (2) 式より

$$\gamma(x) = 1 - \frac{E_s A_{sp}}{a^2} \frac{f(x)}{Z(t_i)} \quad \dots (6)$$

となる。(6)式を  $A_{sp} = 2.1 \times 10^3 \text{ m}^2/\text{m}$   
 $A_0 = 2.0, e^{-b_0 t_i} = 0.9$  の数値に代入し計算  
算結果を図-4, 図-5 に示す。図

-4 は KT 有効緊張力の計算値を示しておる。

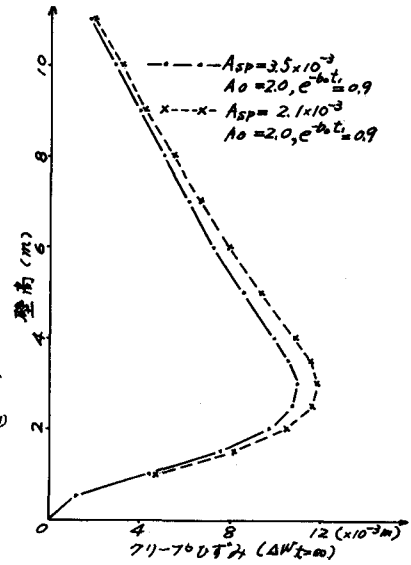


図-2. 軸力と塑性方向反応力

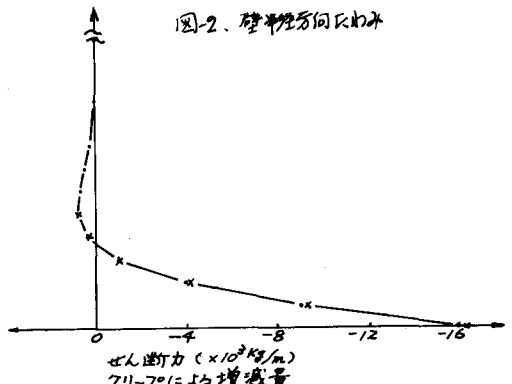


図-3. クリ-フ理論による断面力増加量

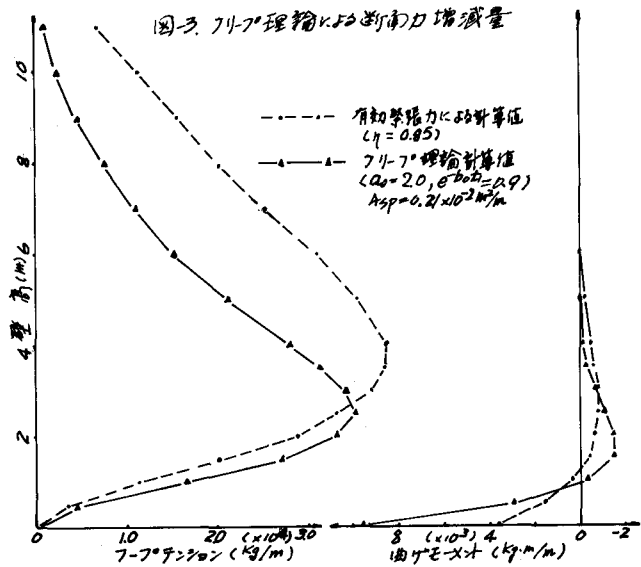


図-4. クリ-フ理論値と有効緊張力の断面力増加量

## (2) 温度应力

定常温度状態に対する温度应力に対する微分方程式(4)式を用ひる。

$$D \frac{d^4 w}{dx^4} + \frac{E c h}{\alpha^2} \cdot w = Z(x) \quad \dots (7)$$

$Z(x)$ は壁の曲げ剛度である。(7)式の右辺の $Z(x)$ は仮想的な荷重である。対象とする温度状態によって異なる。壁内・外面の温度差 $\Delta T(x)$ に対するには、

$$Z(x) = \frac{E c h^2}{12(1-\nu)} \cdot d \cdot \frac{d^2}{dx^2} \Delta T(x) \quad \dots (8)$$

また、壁高方向の温度分布 $T(x)$ に対しては

$$Z(x) = \frac{E c h}{\alpha^2} \cdot d \cdot T(x) \quad \dots (9)$$

を考えられる。ここで $d$ はユニクリートの線膨脹係数である。 $T(x), \Delta T(x)$ を三次以下の多項式で表わし、(7)式を所定の境界条件に対して解く。

## (3) 結果および考察

図-2、図-3に(5)式を用いて計算したクリープひずみ、および曲げモーメント、せん断力の増減量を示してある。前述のようにP/C鋼材量は一定として計算してあるが、結果に対しては、その影響は少ないとある。

図-4はクリープ理論によるフープテンション、曲げモーメントの減少量と有効緊張率によつて計算した場合の同種減少量を比較したものである。また図-5は図-4におけるクリープ理論計算値における有効緊張率を示したものである。これらより判るよろに有効緊張率では壁高に対して変化し、フープテンション、曲げモーメント減少量は両計算法においてかなり異なつてゐる。

図-6はカールソンゲージ測定による壁体の温度分布を示したものである。内外面のゲージ間の温度差は4°C程度を示してあり、温度分布は壁内外面間を直線分布と仮定すれば、約7°Cになる。

図-8は24時間観測による壁体温度の時間的変化を示したものである。本P/Cタニクの壁厚は25cmであるが、日射による外壁の温度上昇と内壁の温度上昇の位相差は約2時間程度であり大きく思われる。またパライタタルを塗装することにより、この位相差が約4.5時間程度となり、かつての内外壁面の温度差は小さくなつて。。

図-9は温度应力について実測結果と計算値を比較したもの



図-5 有効緊張率。

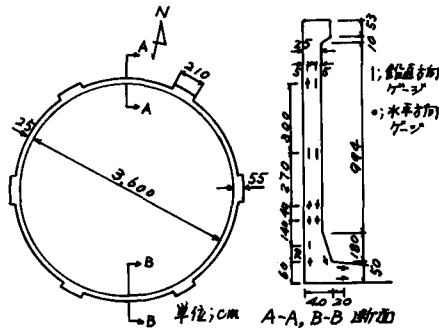


図-6 フープ形状寸法。

日時: 45/2/9. 12:20  
気温: 4°C  
室内温度: 6°C  
天候: 晴  
断面: 南

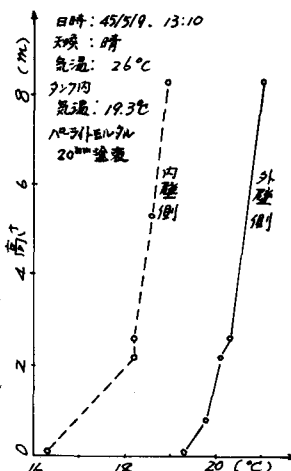
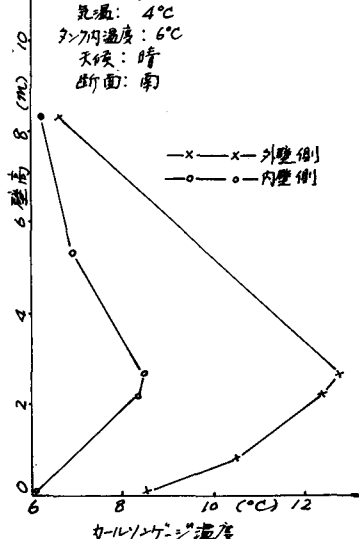


図-7 壁温度分布測定値



であるが、計算値は比較的実測値と一致している。

#### [4] 結論

円形PC管 $\varnothing 7$ mのクリープ、および温度应力についての理論的、実験的研究を行ひ、以下のような結論が得られた。しかし、クリープ解析については、現在実測データを収集整理中であり、十分な結果を得られていない。

(1) PC管 $\varnothing 7$ mのクリープ解析によつて用ひられるPC鋼材の初期緊張力を用いた計算方法は、クリープ理論による計算値とかなり異なり、設計においては検討を要すると思われる。

(2) 壁体に建設されたカルシウムセメントによる壁体温度分布は冬期においてもかなりの内外壁面温度差を示しており、夏期等における実測値がどうなるかと思われる。

(3) 実測値による温度应力はかなり大きな应力を示しており、約10kg/cm<sup>2</sup>程度の内圧应力を算出している。 $\Delta T = T_0 - T_c$ より、設計においては、温度应力については一層主要しよう。また温度应力の計算値はかなり実測値と一致し、計算値により温度应力を推定できると思われる。

#### [5] 謝辞

本研究は昭和43年度吉田研究奨励金を授与された研究である

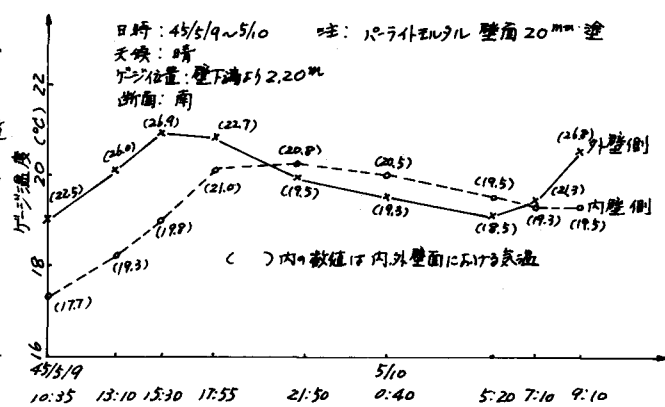
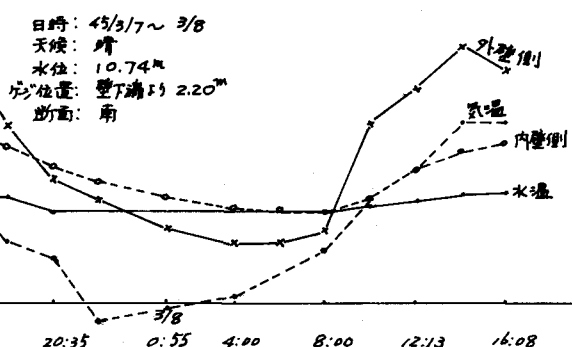


図-8 壁体温度の時間的変化

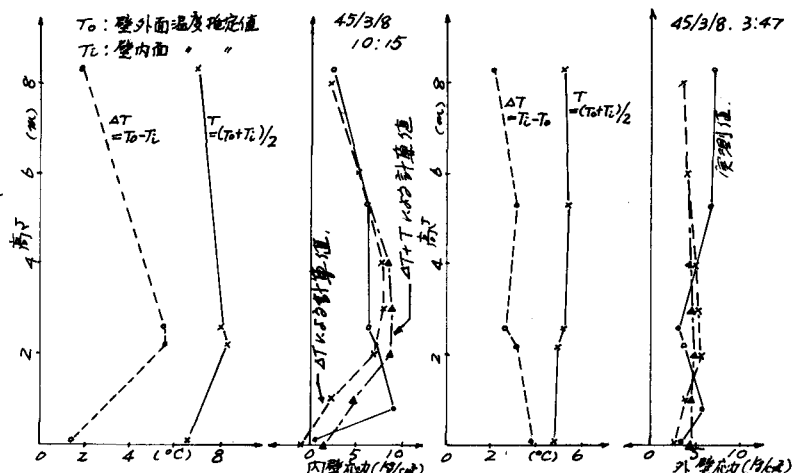


図-9. 壁体温度应力実測値と計算値との比較

ことを附記し、さらには本研究に指導、および助力を下さった方々に謝意を表す。

[6] 参考文献 1) 大東記 "PC管クリープ解析に関する基礎的研究" 日本材料学会PC構造研究委員会資料 1. 1962

2) Clarence H. Kent "Thermal Stresses in Thin-Walled Cylinders" Transaction of A.S.M.E. APM 53-13

3) K. Kordina, J. Eibel "Zur Frage der Temperatur-Belastung von Kreis-zylinderischen stahlbeton-silos" Beton- und stahlbetonbau 1. 1964.